

Научный отчёт

ДОП. ЗАДАЧА: определение распределения критической плотности тока в

Джозефсоновском контакте по поперечному току, протекающему через него

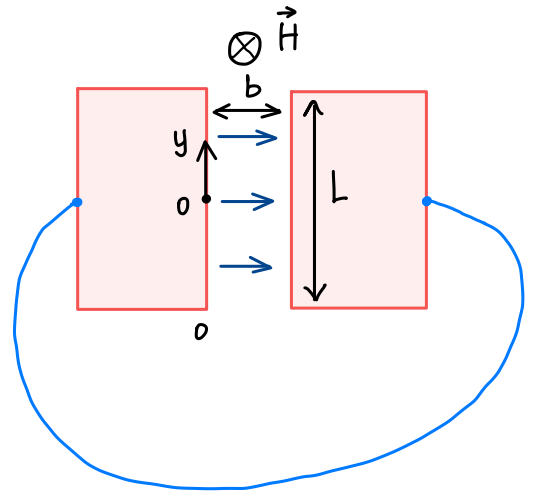
В отсутствие магнитного поля наиболее простое и часто встречающееся

токо-разовое соотношение [1]: $J_s(\varphi) = J_c \sin \varphi$.

Если мы включим магнитное поле, то разность фаз станет зависеть от координаты на контакте $\varphi = \varphi(y)$. В случае

однородного поля, т.к. $\Delta\varphi = 2\pi \frac{\Delta\Phi}{\Phi_0}$, зависимость будет линейной: $\varphi(y) = \varphi_0 + 2\pi \frac{\Phi}{\Phi_0} \frac{y}{L}$,

$\Phi_0 = \frac{hc}{2e} = 2,07 \cdot 10^{-7} \text{ Гс} \cdot \text{см}^2$ - квант магнитного потока.

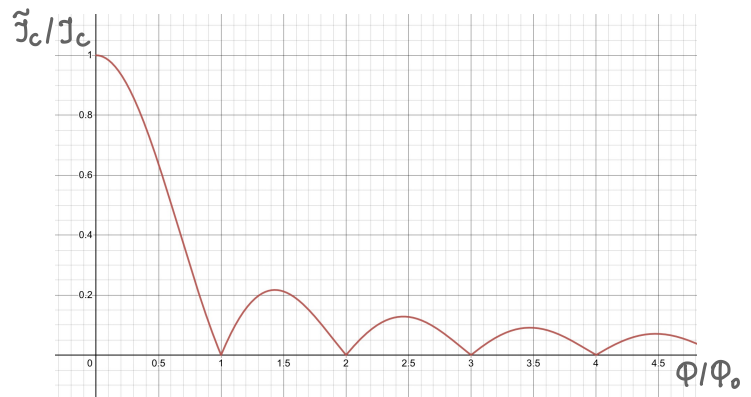


Предполагая $j_c(x, y) = \text{const}$, найдём ток через контакт в присутствии магнитного поля:

$$J(\varphi_0, \Phi) = J_c \text{sinc}\left(\pi \frac{\Phi}{\Phi_0}\right) \sin(\varphi_0), \text{ где}$$

φ_0 - разность фаз в середине.

Как видно, критический ток $\tilde{J}_c(\Phi) = J_c \left| \text{sinc}\left(\pi \frac{\Phi}{\Phi_0}\right) \right|$.



Это преобразование Фурье для прямоугольной ступеньки, поэтому возникает вопрос: можно ли по профилю тока восстановить информацию про распределение критического тока $j_c(x, y)$ в контакте?

Пусть сначала мы можем подбирать φ_0 сами. Тогда общее выражение для тока через контакт: $J(\varphi_0, \varphi) = \int_{\mathbb{R}^2} j_c(x, y) \sin \varphi(x, y) dx dy$. Пусть магнитное поле однородно и направлено произвольно, т.е. $\varphi = \varphi_0 + k_x x + k_y y$, где $k_i = 2\pi \frac{\Phi_i}{\Phi_0}$. Заметим, что $J(\frac{\pi}{2}, \varphi) - iJ(0, \varphi) = \int_{\mathbb{R}^2} j_c(x, y) e^{-ik_x x - ik_y y} dx dy$.

Это преобразование Фурье \Rightarrow с помощью обратного преобразования можно восстановить распределение $j_c(x, y) = \frac{1}{4\pi^2} \int_{\mathbb{R}^2} [J(\frac{\pi}{2}, \varphi) - iJ(0, \varphi)] e^{ik_x x + ik_y y} dk_x dk_y$.

Если же известна только величина критического тока, то нужны некоторые предположения о профиле. Самое простое — профиль $J_c(y) = \int_{\mathbb{R}} j_c(x, y) dx$ чётный^[2]. Тогда $\hat{J}_c(k) = \int_{\mathbb{R}} J_c(y) e^{-iky} dy = \int_{\mathbb{R}} J_c(y) \cos(ky) dy$ будет вещественной и в нулях измеряемой $J_c(\varphi) = |\hat{J}_c(k)|$ нужно будет просто выбирать знаки функции $\hat{J}_c(k)$ так, чтобы она была дифференцируема. По восстановленной $\hat{J}_c(k)$ найдём профиль контакта, как $J_c(y) = \frac{1}{2\pi} \int_{\mathbb{R}} \hat{J}_c(k) \cos(ky) dk$.

ОСНОВНАЯ ЗАДАЧА: найти способ определения майорановского нулевого состояния (далее МНС) по критическому току через Джозефсоновский контакт

В этой работе мы подробно изучили соединение S-TI-S, где TI - топологический изолятор, материал, имеющий изоляционный объём и проводящую поверхность. В таком соединении андреевские связанные состояния имеют спектр энергий $\mathcal{E} = \pm \Delta_0 \cos \frac{\varphi}{2}$, где Δ_0 - параметр порядка сверхпроводника. Как видно, при $\varphi = \pi + 2\pi n$, $n \in \mathbb{Z}$, в спектре присутствуют состояния с нулевой энергией, это и есть МНС.

Далее будем часто ссылаться на основную статью [3]. Гамильтониан системы:

$$H = \int d^2r \psi^\dagger(r) [V \hat{z} \cdot (\pi \times s) - \mu(r)] \psi(r) + [\Delta(r) \psi_\uparrow^\dagger(r) \psi_\downarrow^\dagger(r) + h.c.]$$

При рассмотрении слоя $y = \text{const}$

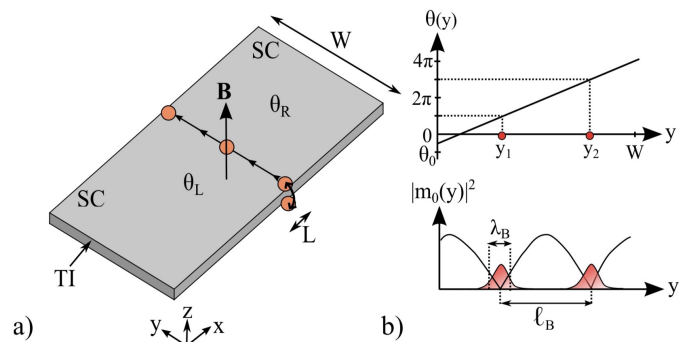
можно ввести эфф-ный гамильтониан $H_{\text{eff}} = iV_M (\gamma_L \partial_y \gamma_L - \gamma_R \partial_y \gamma_R) + iE(y) \gamma_L \gamma_R$, где γ_L, γ_R - майорановские операторы

Около нулей Гамильтониан можно линеаризовать: $\mathcal{H} = \alpha y \tau_z - iV \tau_x \partial_y$.

Можно решить ур-ие Шрёдингера $\mathcal{H}|\psi\rangle = E|\psi\rangle$, если заметить, что $\mathcal{H}^2 = \alpha^2 y^2 - V^2 \partial_y^2 - \alpha V \tau_y \sim \mathcal{H}_0 = \alpha^2 y^2 - V^2 \partial_y^2 + \alpha V \tau_z$, а это не что иное, как Гамильтониан гармонического осциллятора (со сдвигом по энергии).

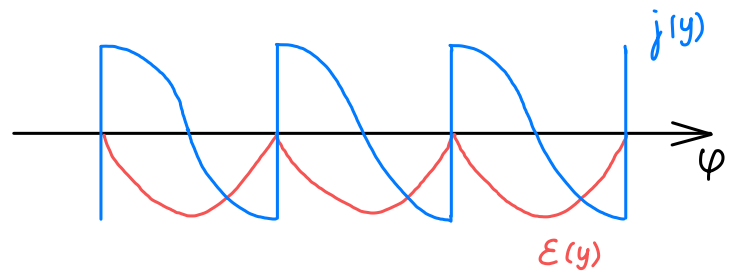
Получим спектр $E_n = \pm \sqrt{2\alpha V n}$. В терминах основной статьи $\alpha = \frac{\pi \Delta}{\ell_B}$, где

$$\ell_B = L \frac{\Phi_0}{\Phi} - \text{магнитная длина} \Rightarrow E_n = \pm \sqrt{2\pi n V_M \Delta / \ell_B}$$



Далеко от нулей спектра можно считать нечетными. Сила тока

$$j \sim -\frac{\partial \mathcal{E}}{\partial \varphi} \Rightarrow j(\varphi) = \pm j_c \sin \varphi/2.$$



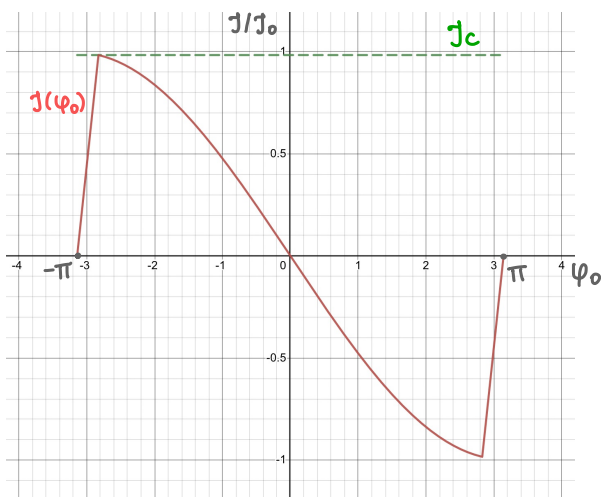
Полная сила тока определяется выражением $J(\varphi_0, \Phi) = -\frac{2\pi}{\Phi_0} \cdot \frac{\partial \mathcal{E}}{\partial \varphi_0}$, где $\mathcal{E} \sim -\int_{-L/2}^{L/2} |\cos(\varphi(y)/2)| dy$ - полная энергия связанных составных.

$$J(\varphi_0, \Phi) \sim \int_{-L/2}^{L/2} \frac{\partial}{\partial \varphi_0} |\cos(\varphi(y)/2)| dy \sim \frac{\Phi_0}{\Phi} \int_{\varphi_1}^{\varphi_2} \frac{d}{d\varphi} |\cos(\varphi/2)| d\varphi \Rightarrow$$

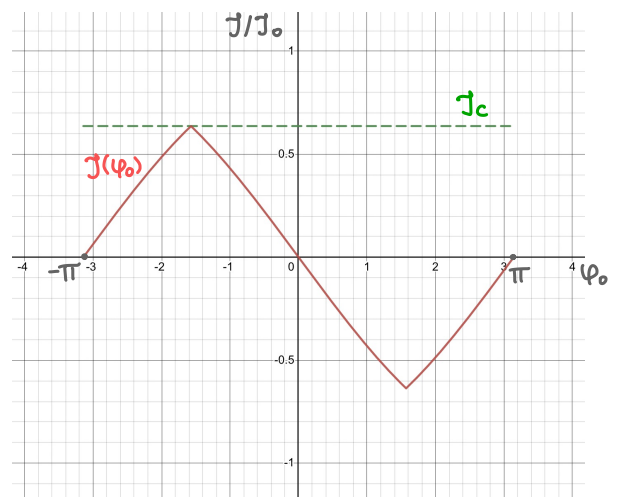
$J(\varphi_0, \Phi) = J_0 \frac{\Phi_0}{\pi \Phi} (|\cos(\frac{\varphi_0}{2} + \frac{\pi}{2} \frac{\Phi}{\Phi_0})| - |\cos(\frac{\varphi_0}{2} - \frac{\pi}{2} \frac{\Phi}{\Phi_0})|)$. Ниже представлены графики этой зависимости для различных значений Φ .

Если оптимизировать выражение по φ_0 , то $J_c(\Phi) = J_0 |\text{sinc}(\pi \frac{\Phi}{\Phi_0})|$.

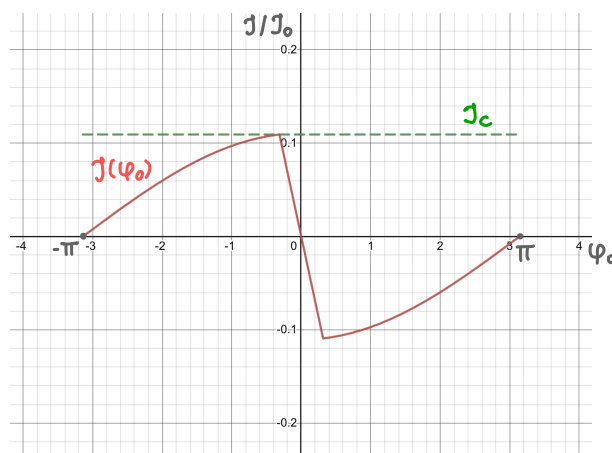
$$\Phi = 0,1 \Phi_0$$



$$\Phi = 0,5 \Phi_0$$

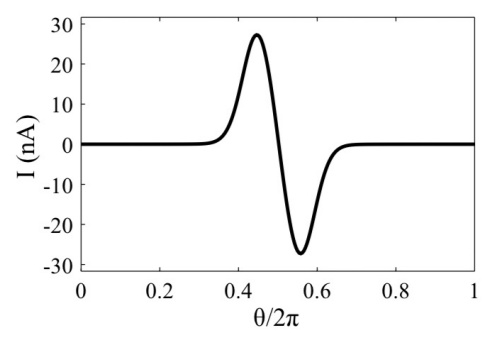
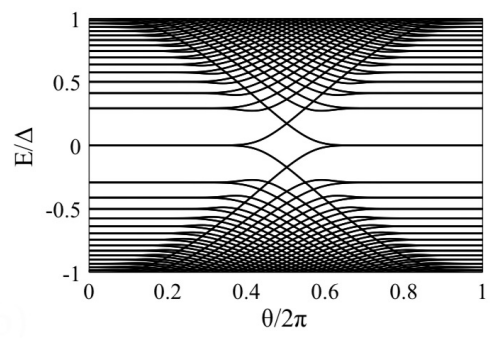


$$\Phi = 0,9 \Phi_0$$



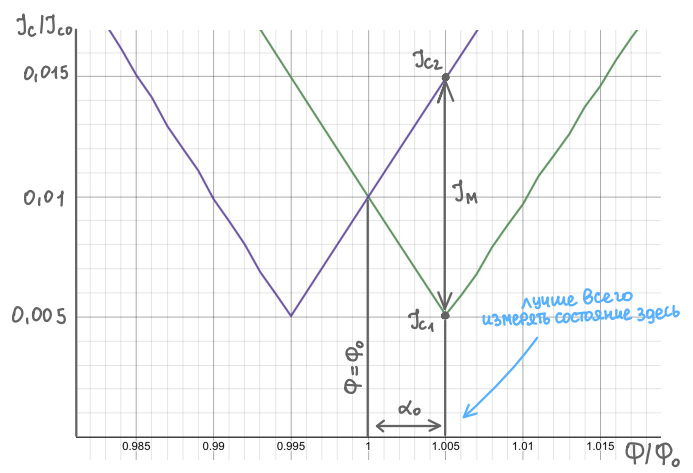
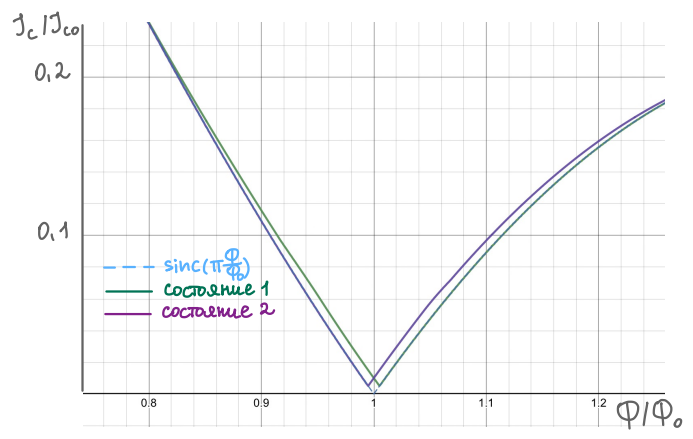
Но помимо этого нужно учитывать квантованность уровней около МНС. При изменении φ_0 они смещаются по сверхпроводнику.

При подходе к его границе майорановские состояния с верхней и нижней поверхностей начинают чувствовать друг друга, из-за чего энергетические уровни расщепляются. Этот процесс называется гибридизацией.



Уровни расщепляются на хаф-ую величину $\delta E_M \approx \sqrt{\frac{v_M \Delta}{l_B}}$ (сравнимо с первыми уровнями найденного ранее спектра). Учитывая, что процесс начинается при $\delta \varphi_0 \approx \frac{\pi \lambda_B}{W}$, вклад майорановского тока $J_M \approx \frac{2\pi}{\Phi_0} \frac{\delta E_M}{\delta \varphi_0} \approx \frac{\Delta}{\Phi_0}$.

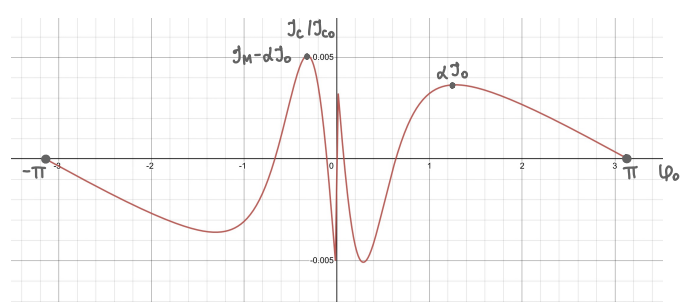
Теперь, зная оба вклада в ток, можно нарисовать график критического тока от магнитного поля $J_c(\Phi)$.



Видно, что вдали от точки $\Phi = \Phi_0$ для обоих майорановских составляющих $J_c(\Phi)$ выглядит, как $\text{sinc}(\pi \frac{\Phi}{\Phi_0})$, но вблизи неё картина сильно отличается:

образуется "крест" при $\Phi = \Phi_0$ с $k = \pm 1$.

Резкий переход в точках минимума связан переключением с одного максимума на



грубой: $J_M - \alpha J_0 = \alpha J_0 \Rightarrow \alpha_0 = \frac{1}{2} \frac{J_M}{J_0}$

Максимальное отличие в критических токах разных состояний именно в точках $\frac{\Phi}{\Phi_0} = 1 \pm \frac{J_M}{2J_0}$: $J_{c1} = \frac{J_M}{2}$, $J_{c2} = \frac{3J_M}{2} \Rightarrow \Delta J_c = J_M$.

Теперь, когда мы поняли, что майорановские состояния можно отличить по разным величинам критического тока J_{c1} и J_{c2} , нужно узнать, при какой температуре и с какой точностью их можно измерить. Для этого обратимся к аналогии Джозефсоновского контакта с массивной частицей в характерном потенциале под названием "стиральная доска".

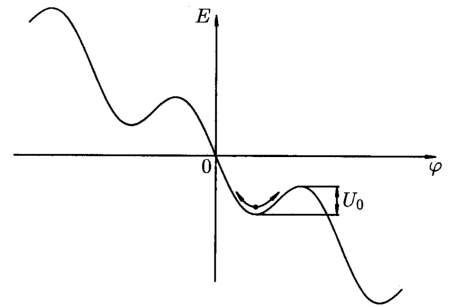


Рис. 22.4. Потенциальный рельеф $E(\varphi)$ джозефсоновского перехода с заданным током.

Разность энергий в минимуме и максимуме:

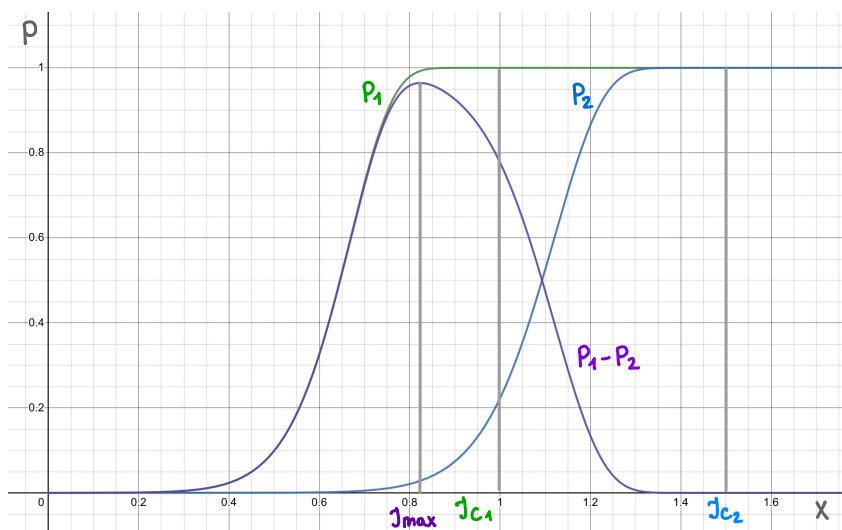
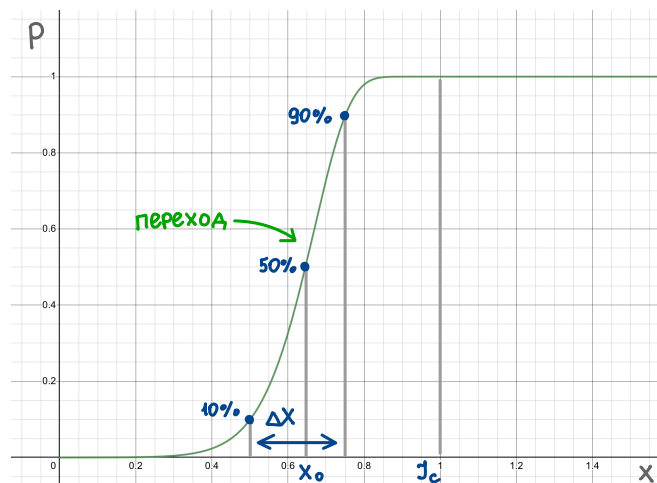
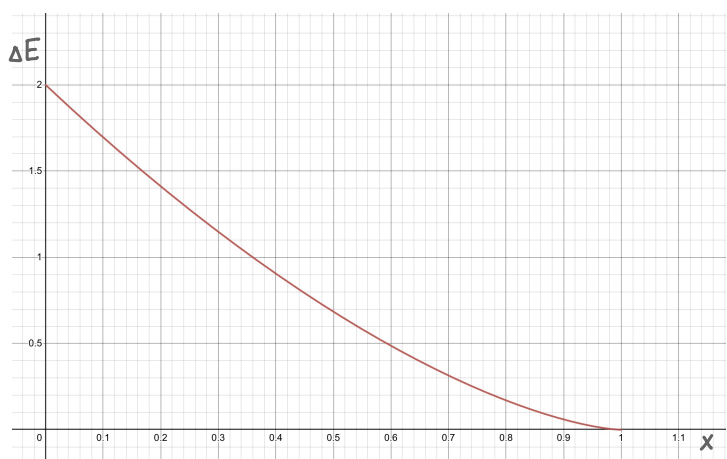
$$\Delta E(J, J_c) = \frac{\Phi_0}{\pi} \sqrt{J_c^2 - J^2} - \frac{\Phi_0 J}{\pi} \arccos\left(\frac{J}{J_c}\right).$$

Тока минимум существует, частица осциллирует в нём с частотой $\omega_p = \sqrt{\frac{2\pi J_c}{C\Phi_0}}$, т.е. каждое $\tau_p = \frac{2\pi}{\omega_p} = \sqrt{\frac{2\pi C\Phi_0}{J_c}}$ она может выпрыгнуть из ямы с приближительной вероятностью $p = \exp(-\frac{\Delta E}{k_B T})$. Если τ - время наблюдения, то вероятность выпрыгнуть за это время $P = 1 - [1 - \exp(-\frac{\Delta E}{k_B T})]^{\tau/\tau_p}$.

Обезразмерим коэффициент, $P = 1 - [1 - \exp(-\frac{\Delta E}{T})]^t$. Также $\Delta E(J, J_c) = J_c \Delta E(\frac{J}{J_c}, 1)$, значит можно изучать только $\Delta E(x) = 2\sqrt{1-x^2} - 2x \arccos(x)$.

Выразим $\Delta E(P) = -T \ln(1 - (1-P)^{1/t}) = T \ln(-\frac{t}{\ln(1-P)}) + O(\frac{1}{t})$. При этом зависимость $x(\Delta E)$ приближительно линейная \Rightarrow Положение перехода линейно зависит от температуры T и логарифмически от времени наблюдения. А характерная ширина перехода $\Delta x \approx T$. Отсюда следует, что максимальная температура, при которой можно отличить два состояния $T_{max} \approx \Delta J_c$. Возвращаясь к размерным коэффициентам, $T_{max} \approx \frac{\Phi_0 \Delta J_c}{2\pi k_B}$.

Графики $\Delta E(x)$, $P(x)$ и $\Delta P(x)$ представлены ниже:



При этом, чтобы сам эффект произошёл, $T \ll \frac{\delta E_M}{k_B} = \frac{\Phi_0}{2\pi k_B} J_M \delta \theta_0 \sim T_{max}$, т.е. условия наблюдения не вносят дополнительных ограничений на температуру. Для параметров из оригинальной статьи $T \ll 0,2 \text{ K}$.

ВЫВОДЫ:

- По полному току можно определить распределение $j_c(x, y)$ в Джозефсоновском контакте, если есть некоторые дополнительные предположения.
- По критическому току через S-TI-S соединение можно измерить МНС ($\Delta J_c \sim 10 \text{ нА}$, $T \ll 0,2 \text{ К}$ - для данных из оригинальной статьи).

В БУДУЩЕМ: планируем решить Гамильтониан численно и убедиться в том, что оценки, сделанные на научной школе, оказались верными.

СПИСОК ЛИТЕРАТУРЫ:

- [1] В.В.Шмигт, Введение в физику сверхпроводников, 2000 г.
- [2] R.C.Dynes and T.A.Fulton, Supercurrent Density Distribution in Josephson Junctions, Physical Review B, Volume 3, Number 9, 1 May 1971
- [3] Andrew C. Potter and Liang Fu, Anomalous Supercurrent from Majorana States in Topological Insulator Josephson Junctions, arXiv: 1303.1524v1, 6 Mar 2013